

# Algorithmen für Ad-hoc- und Sensornetze

## VL 02 – Georouting

Dr. rer. nat. Bastian Katz

Lehrstuhl für Algorithmik I  
Institut für theoretische Informatik  
Universität Karlsruhe (TH)  
Karlsruher Institut für Technologie

29. April 2009  
(Version 3 vom 30. April 2009)



## Geographisches Routing

- » Knoten kennen ihre Geokoordinaten (und die ihrer Nachbarn)
  - » Pakete enthalten Start- und Zielkoordinaten
  - » Vollkommen reaktiv: keine Routingtabellen
- 
- » Geographisches Routing ist realistisch
    - » Knotenpositionen bekannt durch GPS/Galileo oder Lokalisierungsverfahren
    - » Zielpositionen bekannt
      - » wenn statt Labels Positionen verwendet werden (statisch)
      - » wenn Informationen an Zielkoordinaten geroutet werden
      - » Beispiel: Location Services (VL03)

# Positionsbewusstsein

## Definition

Eine Einbettung eines Graphen  $G = (V, E)$  ist eine Abbildung  $\mathbf{p} : V \rightarrow \mathbb{R}^d$ .

- » Sensornetze bringen ihre Einbettung gleich mit!
- » zunächst nur in der Ebene:  $d = 2$

## Definition

Ein verteilter Algorithmus auf einem eingebetteten Graphen heißt *positionsbewusst*, wenn jeder Knoten  $v$  seine Position  $\mathbf{p}(v)$  und die seiner Nachbarn kennt.

- » zunächst nur statisch:  $\mathbf{p}$  ändert sich nicht



Was sind Koordinaten wert, wenn die Vernetzung nichts mit ihnen zu tun hat?

## Erinnerung

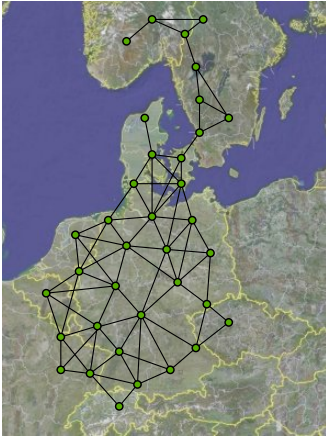
- » Signal fällt mit Entfernung ab
- » Empfänger braucht gewisse Signalstärke

## Verbindungen

beliebige Graphen

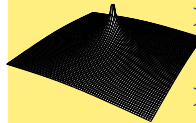
???

???



Was sind Koordinaten wert, wenn die Vernetzung nichts mit ihnen zu tun hat?

## Erinnerung



- » Signal fällt mit Entfernung ab
- » Empfänger braucht gewisse Signalstärke

## Verbindungen

beliebige Graphen

???

UDG

# Unit-Disk-Graph

## Definition *Unit-Disk-Graph*

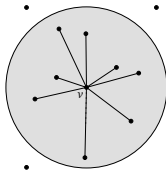
Ein Graph heißt *Unit-Disk-Graph (UDG)*, wenn es eine Einbettung  $\mathbf{p}$  in die Ebene gibt, so dass jeder Knoten genau mit allen Knoten in Abstand  $\leq 1$  verbunden ist, d. h.

$$\{u, v\} \in E \Leftrightarrow |\mathbf{p}(u) - \mathbf{p}(v)| \leq 1$$

» Achtung:

- » UDG zu sein ist eine kombinatorische Eigenschaft
- » Ein Unit-Disk-Graph bleibt ein Unit-Disk-Graph, auch wenn man ihn anders einbettet!
- » Zu wissen, dass ein Graph ein UDG ist, heißt nicht, eine entsprechende Einbettung zu kennen

» Wir gehen von entsprechender Einbettung aus!



# Unit-Disk-Graph-Modell

## Definition *Unit-Disk-Graph-Modell*

Im *Unit-Disk-Graph-Modell* belegen die Knotenpositionen  $\mathbf{p}$  die Eigenschaft des Kommunikationsgraphen, ein Unit-Disk-Graph zu sein, d. h. es gibt einen Kommunikationsradius  $R$ , so dass

$$\{u, v\} \in E \Leftrightarrow |\mathbf{p}(u) - \mathbf{p}(v)| \leq R$$

- beschreibt zu gegebenen Positionen genau, wie Kommunikationsgraph aussieht
- unrealistisch, aber gut zu analysieren, fangen wir damit an!



# Georouting

---

**Gegeben** Eingebetteter Unit-Disk-Graph  $G = (V, E)$ , zwei Knoten  $s, t \in V$

**Gesucht** Positionsbewusste Routingstrategie, um ein Paket, das die Position  $\mathbf{p}(t)$  enthält, von  $s$  nach  $t$  zu bringen.

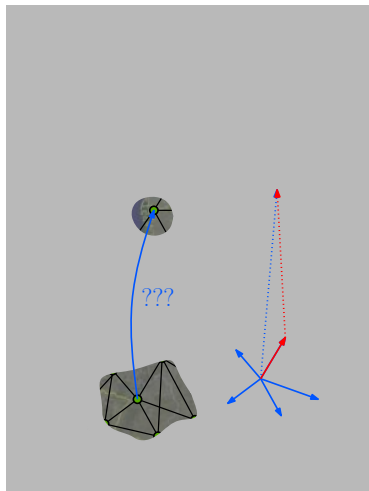
➤ Es ist erlaubt, „etwas“ Routinginformationen im Paket zu speichern (neben der Zielposition)

# Greedy Routing

## Greedy Routing

Leite Paket an den Nachbarn, der dem Ziel am nächsten ist.

Was, wenn es nicht weitergeht?

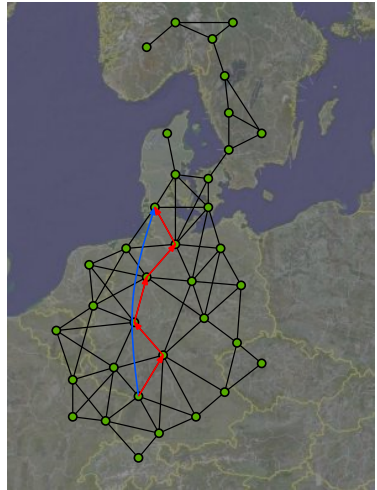


# Greedy Routing

## Greedy Routing

Leite Paket an den Nachbarn, der dem Ziel am nächsten ist.

Was, wenn es nicht weitergeht?

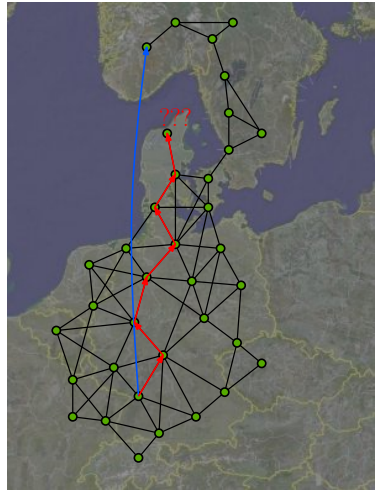


# Greedy Routing

## Greedy Routing

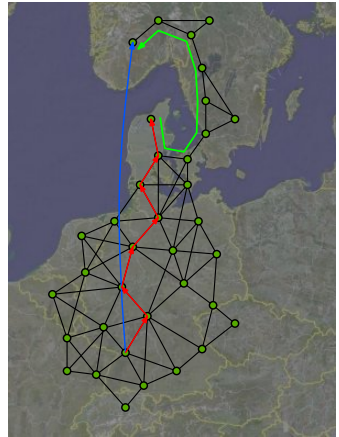
Leite Paket an den Nachbarn, der dem Ziel am nächsten ist.

Was, wenn es nicht weitergeht?



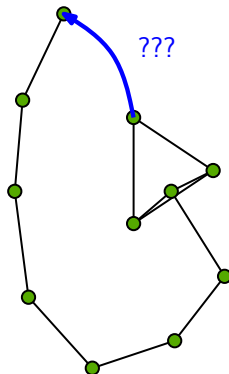
# Alte Bekannte

Idee: Irgendwas mit  
Rechte-Hand-Regel?



# Alte Bekannte

Idee: Irgendwas mit Rechte-Hand-Regel?



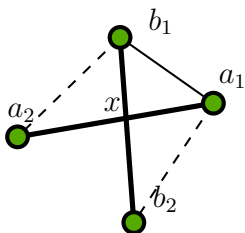
Was haben Irrgärten, was UDG nicht haben?

# Planare Subgraphen

## Lemma

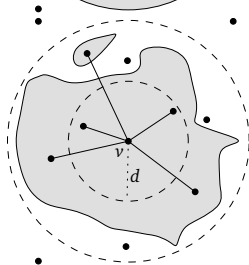
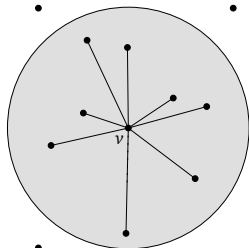
Jeder eingebettete zusammenhängende Unit-Disk-Graph hat einen zusammenhängenden kreuzungsfreien Teilgraphen<sup>a</sup>.

<sup>a</sup>hier immer: geradlinig gezeichnet



- » Betrachte Kreuzung  $x$  von  $\{a_1, a_2\}$  und  $\{b_1, b_2\}$
- » ObdA  $|a_1 - x| \leq 0.5$  und  $|b_1 - x| \leq 0.5$   
 $\Rightarrow |b_1 - a_1| \leq 1$
- »  $|a_1 - b_2| + |a_2 - b_1| \leq 2$   
 $\Rightarrow |a_1 - b_2| \leq 1$  oder  $|a_2 - b_1| \leq 1$
- » eine der kreuzenden Kanten kann entfernt werden

## Einschub: $d$ -QUDG



### Definition $d$ -Quasi-Unit-Disk-Graph

Ein Graph heißt  $d$ -Unit-Disk-Graph ( $d$ -QUDG) für  $d \leq 1$ , wenn es eine Einbettung  $\mathbf{p}$  in die Ebene gibt, so dass jeder Knoten nur mit Knoten in Abstand  $\leq 1$  verbunden ist, darunter mit allen in Abstand  $\leq d$ , d. h.

$$\{u, v\} \in E \Rightarrow |\mathbf{p}(u) - \mathbf{p}(v)| \leq 1$$

und

$$\{u, v\} \notin E \Rightarrow |\mathbf{p}(u) - \mathbf{p}(v)| > d$$

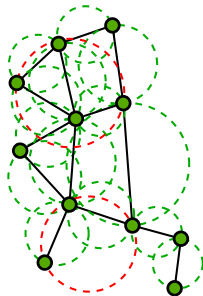
Das Lemma gilt für alle  $d > 1/\sqrt{2}$  (o. Bew.)



# Gabriel Graphs (weil's so schön ist)

## Definition

Sei  $P$  eine Menge von Punkten in der Ebene. Der *Gabriel Graph* enthält ein Punktepaar genau dann als Kante, wenn der kleinste Kreis, der beide Punkte enthält, keine weiteren Punkte enthält.

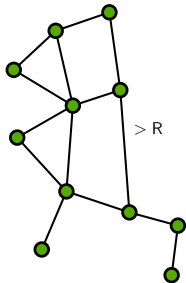


- » Gabriel Graph ist planar, aber kann „lange“ Kanten enthalten
  - » schränke UDG auf GG-Kanten ein!
  - »  $UDG \cap GG$  ist lokal entscheidbar
- »  $UDG \cap GG$  ist planar
- »  $UDG \cap GG$  ist zshg.  $\Leftrightarrow$  UDG ist zshg.
- » Beweise übernächste Woche!
- » QUDG: Cross-Link-Detection-Protokolle!

# Gabriel Graphs (weil's so schön ist)

## Definition

Sei  $P$  eine Menge von Punkten in der Ebene. Der *Gabriel Graph* enthält ein Punktepaar genau dann als Kante, wenn der kleinste Kreis, der beide Punkte enthält, keine weiteren Punkte enthält.

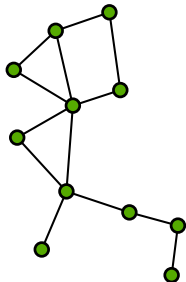


- » Gabriel Graph ist planar, aber kann „lange“ Kanten enthalten
  - » schränke UDG auf GG-Kanten ein!
  - »  $UDG \cap GG$  ist lokal entscheidbar
    - » beide Enden "sehen" störende Knoten
- »  $UDG \cap GG$  ist planar
- »  $UDG \cap GG$  ist zshg.  $\Leftrightarrow$  UDG ist zshg.
- » Beweise übernächste Woche!
- » QUDG: Cross-Link-Detection-Protokolle!

# Gabriel Graphs (weil's so schön ist)

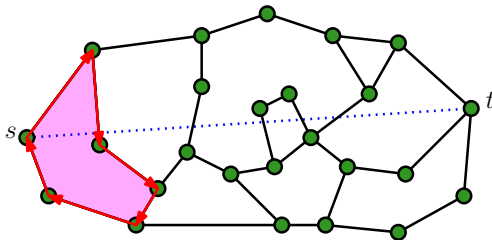
## Definition

Sei  $P$  eine Menge von Punkten in der Ebene. Der *Gabriel Graph* enthält ein Punktepaar genau dann als Kante, wenn der kleinste Kreis, der beide Punkte enthält, keine weiteren Punkte enthält.



- Gabriel Graph ist planar, aber kann „lange“ Kanten enthalten
  - schränke UDG auf GG-Kanten ein!
  - $UDG \cap GG$  ist lokal entscheidbar
    - beide Enden "sehen" störende Knoten
- $UDG \cap GG$  ist planar
- $UDG \cap GG$  ist zshg.  $\Leftrightarrow$  UDG ist zshg.
- **Beweise übernächste Woche!**
- QUDG: Cross-Link-Detection-Protokolle!

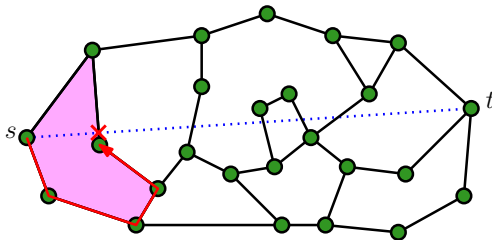
# Facettenrouting (FR)



## Facettenrouting [Kranakis et. al. '99]

- » Erkunde Facette, in die  $\vec{st}$  zeigt
- » Kehre zu Schnitt mit  $\vec{st}$  zurück, der  $t$  am nächsten ist
- » Wechsle zur angrenzenden Facette

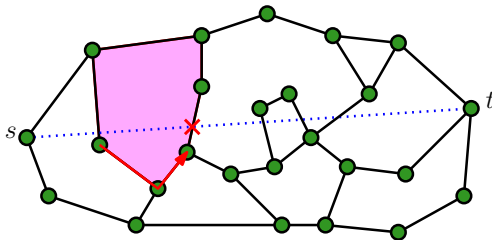
# Facettenrouting (FR)



## Facettenrouting [Kranakis et. al. '99]

- » Erkunde Facette, in die  $\vec{st}$  zeigt
- » Kehre zu Schnitt mit  $\vec{st}$  zurück, der  $t$  am nächsten ist
- » Wechsle zur angrenzenden Facette

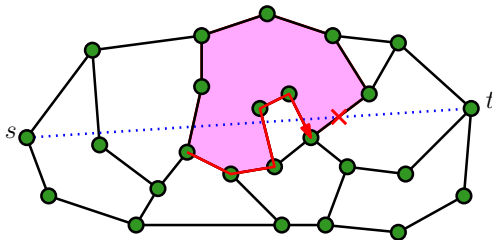
# Facettenrouting (FR)



## Facettenrouting [Kranakis et. al. '99]

- » Erkunde Facette, in die  $\vec{st}$  zeigt
- » Kehre zu Schnitt mit  $\vec{st}$  zurück, der  $t$  am nächsten ist
- » Wechsle zur angrenzenden Facette

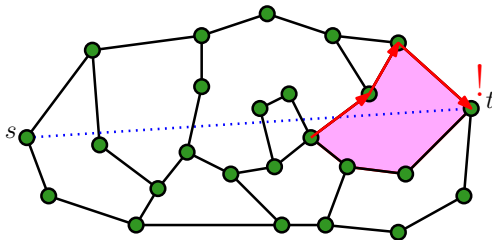
# Facettenrouting (FR)



## Facettenrouting [Kranakis et. al. '99]

- » Erkunde Facette, in die  $\vec{st}$  zeigt
- » Kehre zu Schnitt mit  $\vec{st}$  zurück, der  $t$  am nächsten ist
- » Wechsle zur angrenzenden Facette

# Facettenrouting (FR)

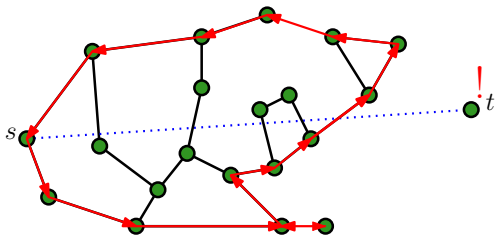


## Facettenrouting [Kranakis et. al. '99]

- » Erkunde Facette, in die  $\vec{st}$  zeigt
- » Kehre zu Schnitt mit  $\vec{st}$  zurück, der  $t$  am nächsten ist
- » Wechsle zur angrenzenden Facette



# Facettenrouting (FR)

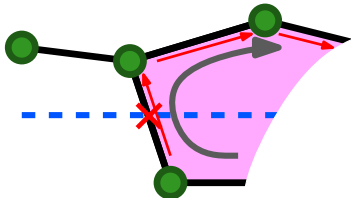


## Fehlerbehandlung

- » Was, wenn kein besserer Schnitt gefunden wird?
- » Schicke Paket mit Fehlermeldung an  $s$  zurück
- » einfach wieder per Facettenrouting

# Regeln des Facettenroutings

- » Routinginformation komplett in Nachricht enthalten
  - » Start- und Zielkoordinaten
  - » bester Übergangsknoten zur nächsten Facette
- » Vollständig lokal
  - » Positionen der Nachbarknoten reichen aus
  - » Facettenerkundung nur implizit durch Linke-Hand-Regel

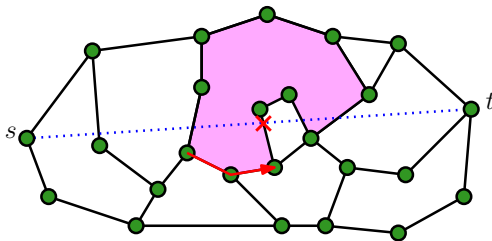


## Satz

Facettenrouting findet in  $O(n)$  Schritten zum Ziel oder erkennt fehlenden Zusammenhang.

- » Beweis:
  - » Jede Facette wird maximal einmal behandelt
    - » Facetten ohne Schnitt mit  $\vec{st}$  fallen weg
    - » sortiere andere Facetten nach letztem Schnitt mit  $\vec{st}$
    - » Facetten werden nur aufsteigend besucht!
  - » jede Kante wird maximal viermal genutzt
    - » zweimal in jeder anliegenden Facette (Erkundung, Rückkehr zum besten Schnitt)
  - » Euler: Planare Graphen haben maximal  $3n-6$  Kanten
  - » Fehlermeldung kann Aufwand verdoppeln

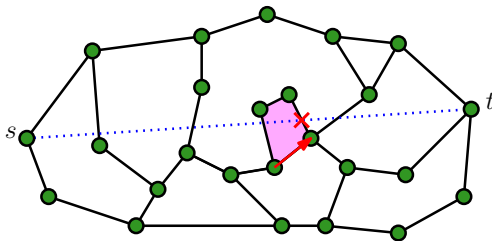
# Vereinfachung Facettenrouting



## Vereinfachtes Facettenrouting

- » Erkunde Facette, in die  $\vec{st}$  zeigt
- » Sobald besserer Schnitt mit  $\vec{st}$  gefunden ist
  - » Wechsle zur angrenzenden Facette
- » beende, wenn Facette keinen besseren Schnitt enthält
- » Korrekt, aber asymptotisch nicht besser! (ohne Beweis)

# Vereinfachung Facettenrouting



## Vereinfachtes Facettenrouting

- » Erkunde Facette, in die  $\vec{st}$  zeigt
- » Sobald besserer Schnitt mit  $\vec{st}$  gefunden ist
  - » Wechsle zur angrenzenden Facette
- » beende, wenn Facette keinen besseren Schnitt enthält
- » Korrekt, aber asymptotisch nicht besser! (ohne Beweis)

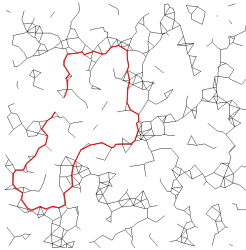
# Bessere Analyse

Facettenrouting findet in  $O(n)$  Schritten zum Ziel oder erkennt fehlenden Zusammenhang. Was, wenn Start und Ziel dicht beieinander liegen?

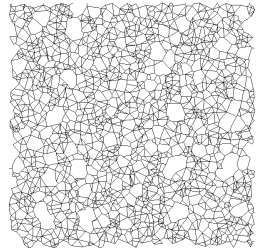
➤ Nicht immer gibt es einen kurzen Weg!



kein Zusammenhang

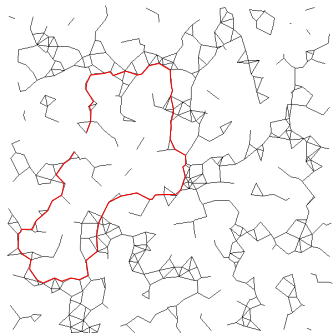


interessant



greedy ausreichend

# Bessere Analyse



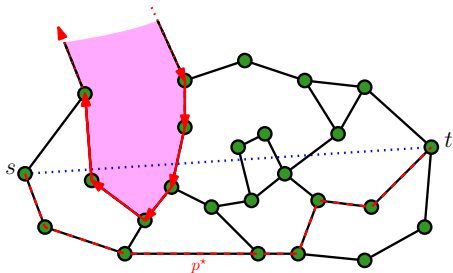
- » Kosten des kürzesten Weges  $c(p^*)$
- » Euklidischer Abstand  $|\mathbf{p}(s) - \mathbf{p}(t)|$
- »  $c(p^*) \gg |\mathbf{p}(s) - \mathbf{p}(t)|$

Kann man wenigsten so routen, dass man nicht beliebig schlechter als der kürzeste Weg ist?

# Bessere Analyse? Unmöglich!

## Problem

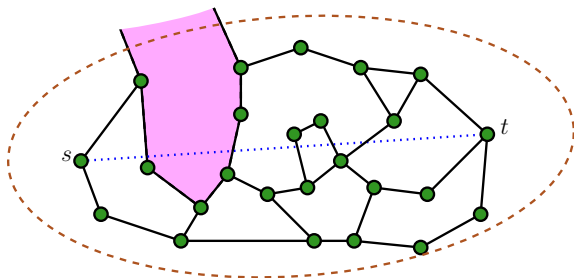
Facettenrouting lässt keine Abschätzung der Weglänge in Abhängigkeit vom kürzesten Weg zu!



Gibt's denn ein besseren Routingalgorithmus?



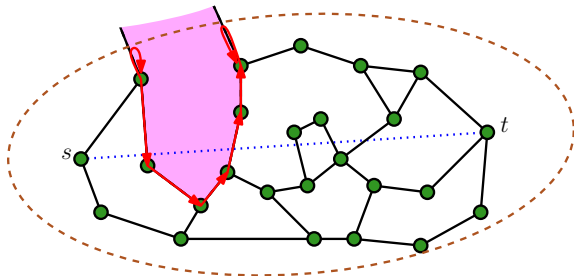
# Beschränktes Facettenrouting (BFR)



## Lemma

Ein Weg  $p$  zwischen  $s$  und  $t$  mit Länge  $c(p)$  liegt vollständig innerhalb der Ellipse mit Foci  $s$ ,  $t$  und Hauptachse  $c(p)$ . Diese Ellipse ist Menge aller Punkte  $x$  mit  $|p(x) - p(s)| + |p(x) - p(t)| \leq c(p)$ .

# Beschränktes Facettenrouting (BFR)



## Beschränktes Facettenrouting (BFR)

Ist die Länge  $c(p^*)$  des kürzesten Weges bekannt, beschränke Facettenrouting durch Ellipse mit Foci  $s$  und  $t$  und Länge der Hauptachse  $c(p^*)$ .

# The secret ingredient: $\Omega(1)$ -Modell

## Definition: $\Omega(1)$ -Modell

Im  $\Omega(1)$ -Modell ist der minimale Abstand zwischen zwei Knoten durch eine Konstante  $d_0$  nach unten beschränkt.

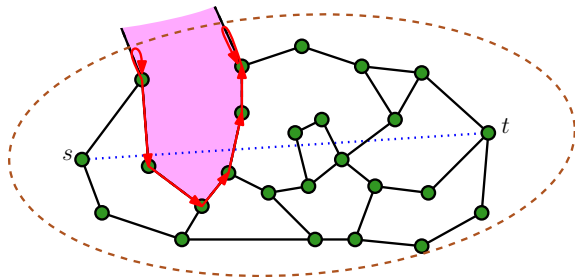
## Lemma

Im  $\Omega(1)$ -Modell besucht das beschränkte Facettenrouting nur  $O(c(p^*)^2)$  Knoten.

» Beweis:

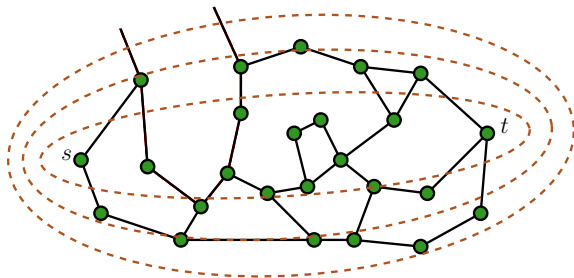
- » Ellipse ist vollständig in Kreis mit Durchmesser  $c(p^*)$  um Mitte von  $s$  und  $t$  enthalten.
- » In Kreis mit Durchmesser  $d$  passen nur  $O((d/d_0)^2)$  Punkte mit paarweisem Abstand  $d_0$
- »  $d_0$  konstant  $\Rightarrow O(c(p^*)^2)$  Knoten im Kreis!

# Beschränktes Facettenrouting (BFR)



Woher sollte man wissen, wie lang der kürzeste Weg zwischen Start- und Zielknoten ist? Was macht man, wenn man es nicht weiß?

# Adaptives Facettenrouting (AFR)



## Adaptives Facettenrouting (AFR)

Ist die Weglänge  $c(p^*)$  zum Ziel nicht bekannt, führe BFR mit  $c_0 = 2 \cdot |st|$  durch. Schlägt das Routing fehl, starte BFR mit  $c_1 = 2 \cdot c_0$ ,  $c_2 = 2 \cdot c_1 \dots (c_i = 2^i \cdot c_0)$

## Satz

Im  $\Omega(1)$ -Modell erreicht das Adaptive Facettenrouting das Ziel mit Kosten in  $O(c^2(p^*))$ , wenn die optimale Route Kosten  $c(p^*)$  hat.

### » Beweis

- » spätestens in Runde  $k$  erfolgreich mit  $c_{k-1} \leq c(p^*) \leq c_k$
- »  $\text{cost}_{\text{AFR}} = \sum_{i=0}^k c_i^2 = \sum_{i=0}^k (2^i c_0)^2 = \sum_{i=0}^k 4^i c_0^2$
- »  $= \frac{4^{k+1}-1}{3} c_0^2 < \frac{16}{3} (2^{k-1} c_0)^2 = \frac{16}{3} c_{k-1}^2 < \frac{16}{3} c^2(p^*)$

# Adaptives Facettenrouting – Analyse

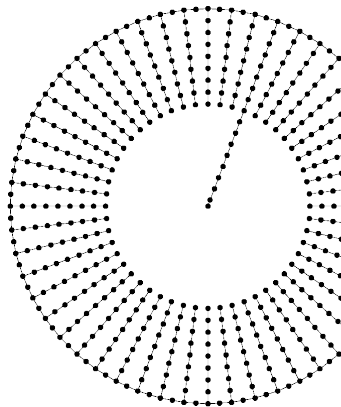
## Bemerkung

Fehlender Zusammenhang wird in  $O(n' \log n')$  Schritten erkannt, wenn  $n'$  die Anzahl der Knoten in der Zhgs.-Komponente von  $s$  ist.

- Entferntester Knoten ist maximal  $n'$  Funkradien von  $s$  entfernt
- Nach  $O(\log n')$  Ellipsenverdoppelungen alle Knoten enthalten
  - Erkennung: Paket „stößt“ nicht mehr gegen die Ellipse
- $\Rightarrow O(\log n')$  BFR-Phasen mit je maximal  $O(n')$  Schritten

## $O(c(p^*)^2)$ ist worst-case-optimal

- »  $c$  Pfade vom Rand Richtung Mitte
  - » jeder hat Länge  $\Theta(c)$
- » Ziel: Knoten in der Mitte
- » Start: Beliebiger Knoten auf dem Ring
- » Ohne Routinginformationen könnte jeder Pfad zur Mitte führen
- » Verfahren muss  $\Omega(c)$  Pfade testen.
- » Bester Weg hat Länge  $O(c)$
- » Kosten:  $\Omega(c^2)$  statt  $O(c)$



### Satz

AFR ist (asymptotisch) worst-case-optimal.



Schön, aber  
etwas langsam

FR



Ellipt.  
Suchraum

Schnell, aber  
sehr neugierig

BFR



Adaptiver  
Suchraum

Praktischer  
Jüngling

Greedy



AFR

Theoretische  
Schönheit

# Greedy AFR (GAFR)

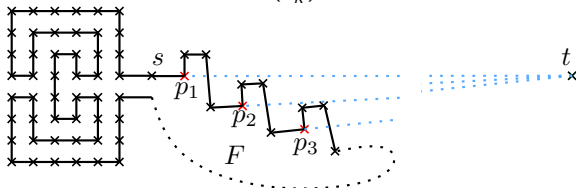
- » Eigentlich ist Facettenrouting immer nur „Plan B“
  - » Greedy Routing schneller, weniger fehleranfällig
  - » Greedy Routing kann alle Verbindungen nutzen
- » Verbinde Greedy Routing und Facettenrouting
  - 1 Route greedy, bis Paket an Knoten  $p$  steckenbleibt
  - 2 Starte adaptives Facettenrouting für Start  $p$ , Ziel  $t$
  - 3 Stoppe, sobald *eine Facette* passiert ist (
  - 4 Gehe zurück zu 1.

## Satz

Greedy AFR ist nicht asymptotisch worst-case-optimal.

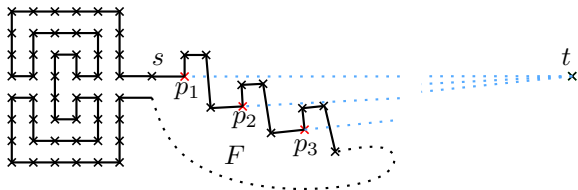
# Suboptimalität Greedy+AFR

- Erinnerung:
  - AFR zerfällt in BFR-Schritte verschiedener Ellipsen.
  - In jedem BFR-Durchgang wird jede Facette nur einmal besucht
  - Aufwand linear in der Anzahl der Knoten (der Fläche d. Ellipse)
- Greedy-Schritte zerstören diese Eigenschaft!
- Beweisskizze (betrachte „passende“ Ellipse):
  - Instanz mit Kosten  $\in \Theta(c_k^3)$ :



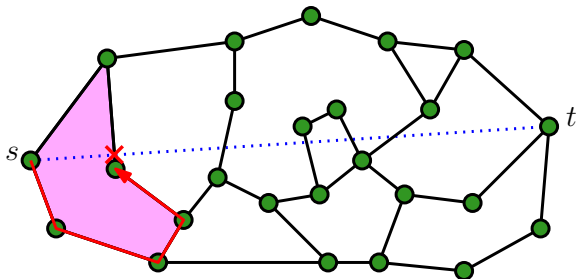
- Face Routing startet an  $p_1, p_2, p_3$  ( $\Theta(c_k)$  mal)
- Facette  $F$  enthält  $\Theta(c_k^2)$  Knoten.

## Zurück zum Facettenrouting



- Was läuft falsch?
  - Selbst „bester“ Schnittpunkt von  $\overrightarrow{p_1 t}$  ( $\overrightarrow{p_i t}$ ) mit Facettenrand kein guter Startpunkt für Greedy-Routing.
  - Greedy-Routing trifft immer wieder auf dieselbe Facette.
  - Facettenrouting erkundet immer wieder dieselbe Facette.
- Facettenrouting lässt sich so anpassen, dass das nicht passiert.

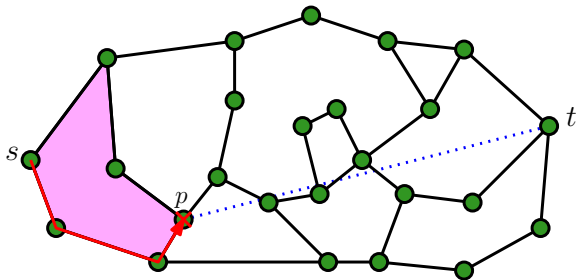
# Optimiertes Facettenrouting (OFR)



## Herkömmliches Facettenrouting

- » Erkunde Facette, in die  $\vec{st}$  zeigt
- » Kehre zu Schnitt mit  $\vec{st}$  zurück, der  $t$  am nächsten ist
- » Wechsle zur angrenzenden Facette

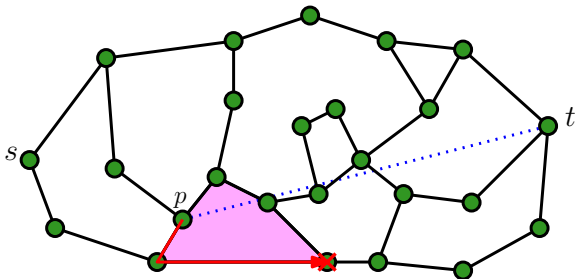
# Optimiertes Facettenrouting (OFR)



## Optimiertes Facettenrouting [Wattenhofer et al. '03]

- » Erkunde Facette, in die  $\vec{st}$  zeigt
- » Kehre zum Punkt zurück, der  $t$  am nächsten ist siehe Update
- » Wechsle zur angrenzenden Facette

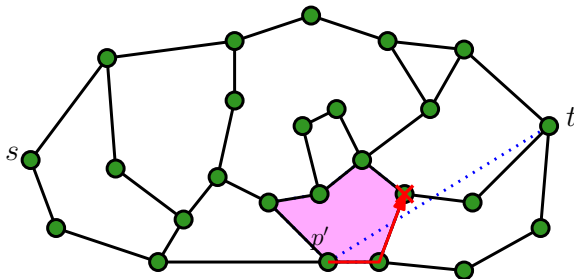
# Optimiertes Facettenrouting (OFR)



## Optimiertes Facettenrouting [Wattenhofer et al. '03]

- Erkunde Facette, in die  $\vec{st}$  zeigt
- Kehre zum Punkt zurück, der  $t$  am nächsten ist siehe Update
- Wechsle zur angrenzenden Facette

# Optimiertes Facettenrouting (OFR)

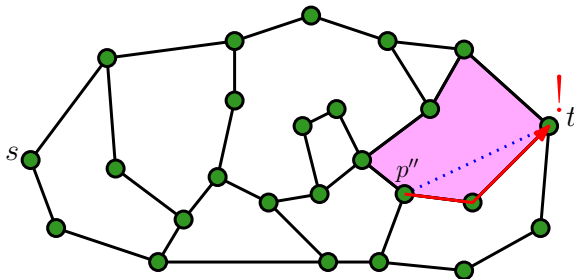


## Optimiertes Facettenrouting [Wattenhofer et al. '03]

- » Erkunde Facette, in die  $\vec{st}$  zeigt
- » Kehre zum Punkt zurück, der  $t$  am nächsten ist siehe Update
- » Wechsle zur angrenzenden Facette



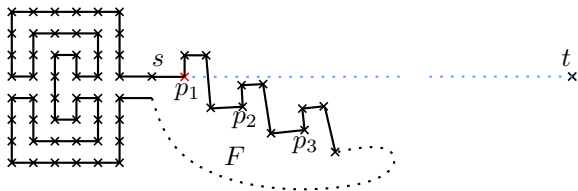
# Optimiertes Facettenrouting (OFR)



## Optimiertes Facettenrouting [Wattenhofer et al. '03]

- » Erkunde Facette, in die  $\vec{st}$  zeigt
- » Kehre zum Punkt zurück, der  $t$  am nächsten ist siehe Update
- » Wechsle zur angrenzenden Facette

# Greedy+Optimiertes Facettenrouting (GOFR)



- Greedy Routing stockt bei  $p_1$
- Facettenrouting endet nicht in Schnitt von  $\overrightarrow{p_1 t}$  mit Facettenrand, sondern bei  $p_t$
- Greedy Routing kommt nicht wieder an den Rand von  $F$ .

# Optimiertes adaptives FR (OAFR)

## Satz

Für das optimierte Facettenrouting gelten alle Aussagen bis auf die Suboptimalität in Verbindung mit Greedy-Routing analog.

- Optimiertes FR findet in  $O(n)$  Schritten zum Ziel.
- Beschränktes optimiertes Facettenrouting mit geschätzter Pfadlänge  $c$  findet in  $c^2$  Schritten zum Ziel oder erkennt fehlenden Zusammenhang.
- Adaptives optimiertes FR findet in  $c^2(p^*)$  zum Ziel.
- Adaptives optimiertes FR erkennt fehlenden Zusammenhang in  $O(n' \log n')$  Schritten.

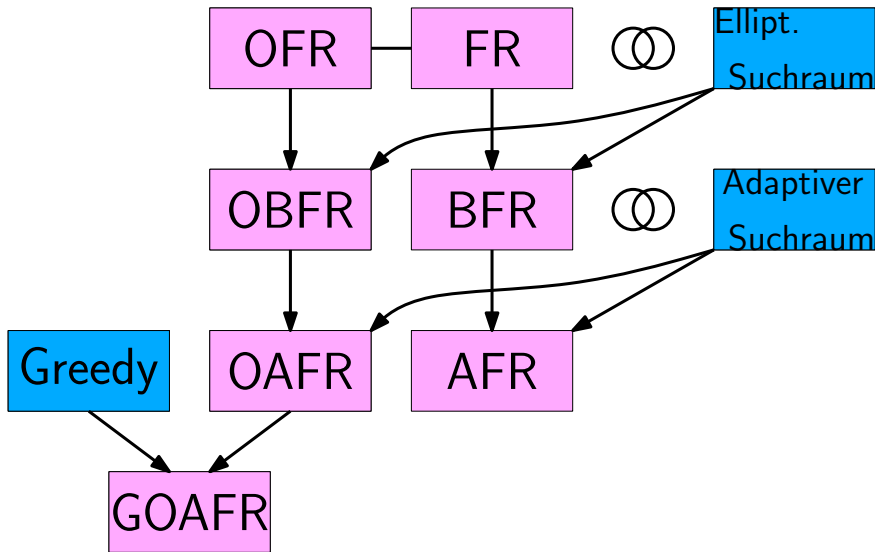
# Greedy + Optimiertes adaptives FR (GOAFR)

## Greedy + Optimiertes adaptives Facettenrouting

- 1 Route greedy, bis Paket an Knoten  $p$  steckenbleibt
- 2 Starte optimiertes, adaptives FR für Start  $p$ , Ziel  $t$
- 3 Stoppe, sobald *eine Facette* passiert ist
- 4 Gehe zurück zu 1.

## Satz

GOAFR ist asymptotisch worst-case-optimal. (Ohne Beweis)



# Was mitnehmen?

---

- » Neue Modelle!
  - » UDG: stark idealisiert, aber sehr mächtig
  - » QUDG: etwas allgemeiner, immer noch idealisiert
  - »  $\Omega(1)$ -Modell: vernünftige Annahme zur Analyse!
- » Eine große Hochzeit aus guten Ideen
  - » Greedy Routing
  - » Facettenrouting dem Haus „Planare Graphenalgorithmen“
    - » bewegte Familiengeschichte!
  - » (eigentlich erst möglich durch Planarisierungsalgorithmen)



Können wir irgendwas davon noch in 3D verwenden?

- » Modelle?
- » Greedy Routing?
- » Facettenrouting?
- » Schranken?

- 1 E. Kranakis, H. Singh, J. Urrutia: *Compass Routing on geometric networks*. In Proceedings of the 11th Canadian Conference on Computational Geometry, 1999
- 2 P. Santi: *Topology Control in Wireless Ad Hoc and Sensor Networks*. Wiley, 2005
- 3 F. Kuhn, R. Wattenhofer, Y. Zhang, A. Zollinger: *Geometric ad-hoc routing: Of theory and practice*. In: Proceedings of the 22nd ACM Symposium on Principles of Distributed Computing (PODC'03)